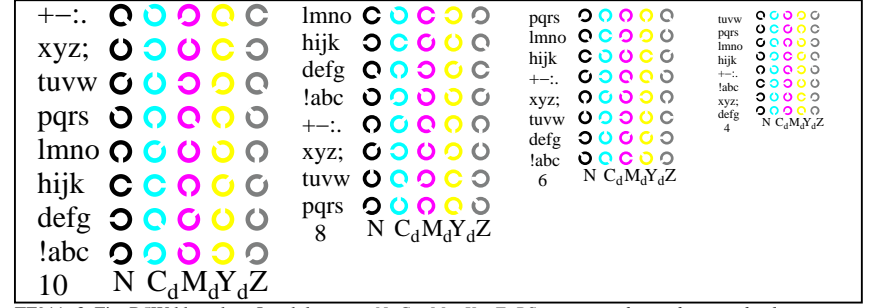
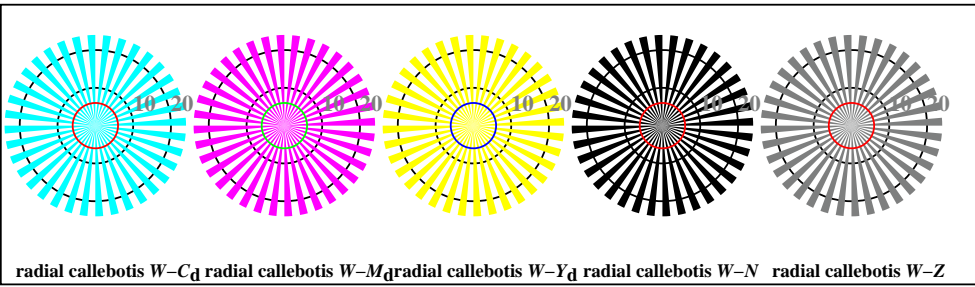


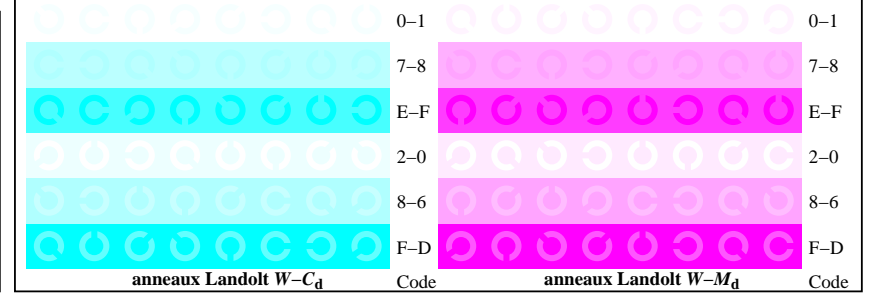
TF911-1, Fig. B4Wdd: 16 équidistants étapes  $W-C_d$ ;  $W-M_d$ ;  $W-Y_d$ ;  $W-N$ ;  $rgb/cmy0 \rightarrow rgb_{dd}$  *setrgbcolor*



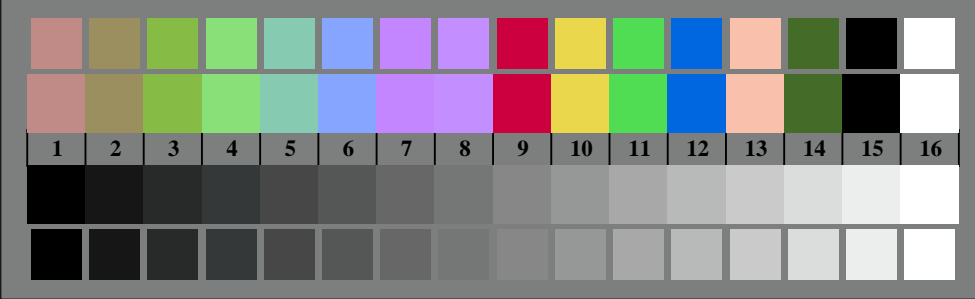
TF911-3, Fig. B5Wdd: code et Landolt anneauN;  $C_d$ ;  $M_d$ ;  $Y_d$ ;  $Z$ ; *PS operator rgb \rightarrow rgb\_{dd}* *setrgbcolor*



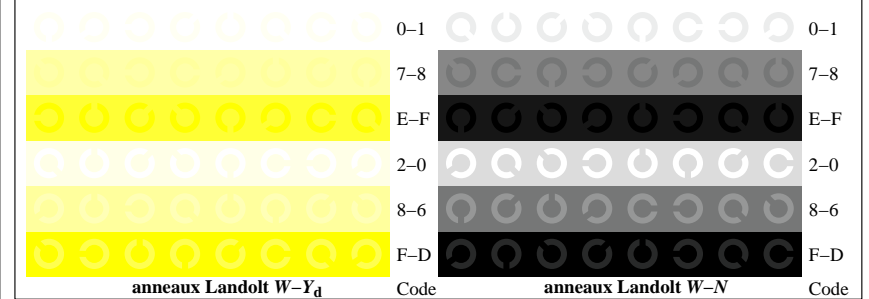
TF910-5, Fig. B2Wdd: radial calottes  $W-C_d$ ;  $W-M_d$ ;  $W-Y_d$ ;  $W-N$ ; *PS operator rgb \rightarrow rgb\_{dd}* *setrgbcolor*



TF911-5, Fig. B6Wdd: anneaux Landolt  $W-C_d$ ;  $W-M_d$ ; *PS operator rgb \rightarrow rgb\_{dd}* *setrgbcolor*



TF910-7, Fig. B3Wdd: 14 CIE test couleurs et 2 + 16 gris étapes (sf);  $rgb/cmy0 \rightarrow rgb_{dd}$  *setrgbcolor*



TF911-7, Fig. B7Wdd: anneaux Landolt  $W-Y_d$ ;  $W-N$ ; *PS operator rgb \rightarrow rgb\_{dd}* *setrgbcolor*